

Math-Net.Ru

Общероссийский математический портал

Ю. И. Виноградов, Е. И. Кочемасова, Эффективные приложения аналитических решений задач механики деформирования оболочек, *Исслед. по теор. пластин и оболочек*, 1992, выпуск 25, 93–99

Использование Общероссийского математического портала Math-Net.Ru подразумевает, что вы прочитали и согласны с пользовательским соглашением

<http://www.mathnet.ru/rus/agreement>

Параметры загрузки:

IP: 178.205.19.235

7 июня 2024 г., 16:17:12



Ю.И.Виноградов, Е.И.Кочемасова

ЭФФЕКТИВНЫЕ ПРИЛОЖЕНИЯ АНАЛИТИЧЕСКИХ РЕШЕНИЙ ЗАДАЧ МЕХАНИКИ ДЕФОРМИРОВАНИЯ ОБОЛОЧЕК

Компьютеризация научных исследований требует совершенствования известных и создания новых ресурсосберегающих технологий решения на ЭВМ широких классов задач научно-технического прогресса.

Массовое увлечение численными методами определения решений дифференциальных уравнений краевых задач механики деформирования оболочек необоснованно оставляет без внимания полученные ранее многочисленные аналитические решения.

В докладе предлагается использовать аналитические решения в приложениях для широкого класса задач механики деформирования различных форм оболочек и конструкций из них. Малые затраты машинного времени и памяти и априорные оценки погрешностей вычислений особенно для расчета локально нагруженных оболочек делает предложенный ниже алгоритм решения исследовательских и прикладных задач ресурсосберегающими, часто превосходящими по указанным параметрам другие численные методы.

С целью обеспечения наглядности и без потери общности алгоритм излагается на примере решения задачи деформирования цилиндрической оболочки.

Аналитическое решение строится на основе уравнений теории круговых цилиндрических оболочек В.Флюгге [1].

Решение полученной путем представления тригонометрическими рядами искомых величин системы обыкновенных дифференциальных уравнений для каждого номера гармоники будем искать в экспоненциальных функциях

$$u_n = A e^{\lambda s}, v_n = B e^{\lambda s}, w = C e^{\lambda s}. \quad (1)$$

Значения постоянных A, B, C и показателя зависят от номера n , однако в записи с целью ее сокращения это не отмечается. В результате получим

$$\left[\lambda^2 - \frac{1-\nu}{2} n^2 (1+k) \right] A + \frac{1+\nu}{2} \lambda n B + \left[\nu \lambda - k \left(\lambda^3 + \frac{1-\nu}{2} \right) \lambda n^2 \right] C = 0,$$

$$-\frac{1+\delta}{2} \lambda n A + \left[\frac{1-\delta}{2} \lambda^2 - n^2 + \frac{3}{2} (1-\delta) k \lambda^2 \right] B + \left[-n + \frac{3-\delta}{2} k \lambda^2 n \right] C = 0, \quad (2)$$

$$\left[\delta \lambda - k \left(\lambda^3 + \frac{1-\delta}{2} \lambda n^2 \right) \right] A + \left[n - \frac{3-\delta}{2} k \lambda^2 n \right] B + \left[1 + k \left(\lambda^4 - 2 \lambda^2 n^2 + n^4 - 2 n^2 + 1 \right) \right] C = 0.$$

Эта система уравнений имеет для A, B, C нетривиальные решения только в том случае, когда ее определитель равен нулю. Раскрывая его с учетом того, что $k \ll 1$, получим

$$\lambda^8 + a_3 \lambda^6 + a_2 \lambda^4 + a_1 \lambda^2 + a_0 = 0, \quad (3)$$

где $a_0 = n^4(n^2-1)^2$, $a_1 = -4n^6 + 8n^4 - 2\delta n^4 - 2n^2 + 2\delta n^2$,

$$a_2 = 6n^2(n^2-1) + \frac{1-\delta^2}{k}, \quad a_3 = -4n^2 + 2\delta.$$

Исследования показали, что характеристическое уравнение (3) имеет только комплексные корни

$$\lambda_j = \pm \alpha_j \pm i \beta_j \quad (j=1, 2, 3, 4), \quad \lambda_j = \pm \alpha_2 \pm i \beta_2 \quad (j=1, 2, 3, 4).$$

Каждому определенному корню λ_j соответствует линейно независимое решение обыкновенных дифференциальных уравнений задачи с постоянными A, B, C , которые связаны между собой уравнениями (2) так, что только одна из них может быть выбрана произвольно.

С целью сокращения вычислений обратим внимание, что при A в первом уравнении системы (2) и при B и C во втором стоят четные функции λ . Остальные функции λ этих уравнений нечетные.

Учитывая еще, что $\lambda_1 = -\lambda_4, \lambda_2 = -\lambda_3, \lambda_5 = -\lambda_8, \lambda_6 = -\lambda_7$, запишем

$$a_j = \pm d_1 \pm i e_1 \quad (j=1, 2, 3, 4), \quad a_j = \pm d_2 \pm i e_2 \quad (j=5, 6, 7, 8),$$

$$b_j = f_1 + i g_1 \quad (j=1, 4), \quad b_j = f_1 - i g_1 \quad (j=2, 3), \quad b_j = f_2 + i g_2 \quad (j=5, 8), \quad b_j = f_2 - i g_2 \quad (j=6, 7).$$

Тогда $A_j = a_j C_j, B_j = b_j C_j$.

В итоге аналитическое решение при переходе к действительным функциям принимает вид

$$u = \sum_{n=1}^{\infty} [A_1(d_1 F_1 - e_1 F_2) - B_1(e_1 F_1 + d_1 F_2) - C_1(d_1 F_3 + e_1 F_4) - D_1(e_1 F_3 - d_1 F_4) + \dots] \cos n\varphi,$$

$$v = \sum_{n=1}^{\infty} [A_1(f_1 F_1 - g_1 F_2) - B_1(g_1 F_1 - f_1 F_2) + C_1(f_1 F_3 + g_1 F_4) + D_1(g_1 F_3 - f_1 F_4) + \dots] \sin n\varphi, \quad (4)$$

$$w = \sum_{n=1}^{\infty} (A_1 F_1 - B_1 F_2 + C_1 F_3 - D_1 F_4 + \dots) \cos n\varphi,$$

$$F_1 = e^{\alpha_1 \xi} \cos \beta_1 \xi, F_2 = e^{\alpha_1 \xi} \sin \beta_1 \xi, F_3 = e^{-\alpha_1 \xi} \cos \beta_1 \xi, F_4 = e^{-\alpha_1 \xi} \sin \beta_1 \xi.$$

С целью сокращения записи ограничились лишь первой половиной правых частей формул, так как она отличается от второй половины только индексами при α и β .

Внутренние силовые факторы и их производные легко получают с учетом решения (4).

Классическое продолжение решения прикладных задач состоит далее в определении постоянных интегрирования для заданных граничных условий. Однако при этом возникают непреодолимые технические трудности: число операций при вычислениях столь велико, что решение возможно только с помощью ЭВМ, а использование ЭВМ для расчета тонких и длинных оболочек не дает желаемого результата из-за присутствия в решении задач быстро возрастающих и убывающих функций, которое ведет к потере точности решения.

Избежать трудности можно с помощью следующего алгоритма продолжения решения прикладных задач. Составляют вектор-столбец $T = |u_n, v_n, w_n, w_n', \bar{N}_{xn}, \bar{N}_{xqn}, \bar{Q}_{xn}, \bar{M}_{xn}|^T$. Представляют его в матричной форме

$$T = FC, \quad (5)$$

где F - матрица (8x8) функциональных элементов, $C = |A_1, B_1, C_1, D_1,$

$$A_2, B_2, C_2, D_2|^T, \bar{N}_{xn} = \frac{N_{xn} R}{B}, \bar{N}_{xqn} = \frac{2RN_{xqn}^*}{(1-\nu)B}, \bar{Q}_{xn} = \frac{Q_{xn}^* R^3}{D}, \bar{M}_{xn} = \frac{M_{xn} R^2}{D}.$$

Для $\xi = 0$ соотношение (5) приобретает вид $T_0 = F_0 C$. Отсюда $C = F_0^{-1} T_0$. Исключая теперь C из (5) и обозначая $K = F F_0^{-1}$, получим связь вектора T состояния любого сечения оболочки с вектором T_0 в начальном ее сечении

$$T = K T_0, \quad (6)$$

где K - матрица (8x8), элементами которой являются фундаментальные в смысле Коши - Крылова функции, так как они обладают точно такими же свойствами, что и гиперболотригонометрические функции, полученные А.Н.Крыловым для расчета балок, лежащих на упругом основании [2].

Соотношение (6) справедливо для любого участка оболочки. Обозначая индексами "н" и "к" соответственно начало и конец j -го участка оболочки произвольной длины и разбивая вектор состояния сечения оболочки на геометрический $p = |u_n, v_n, w_n, w_n'|^T$ и

силовой $Q = |\bar{N}_{xn}, \bar{N}_{x\varphi n}, \bar{Q}_{xn}, \bar{M}_{xn}|^T$, а матрицу K на соответствующие блоки $K_{ij}(i, j=1, 2)$, соотношение (6) перепишем в виде

$$p_{nj} = K_{11} p_{kj} + K_{12} q_{kj}, q_{nj} = K_{22} p_{kj} + K_{23} q_{kj}. \quad (7)$$

Отсюда следует, что

$$q_{nj} = B_1 p_{nj} + B_2 p_{kj}, q_{kj} = B_3 p_{nj} + B_4 p_{kj}. \quad (8)$$

Здесь j обозначает номер участка и номер правого сечения этого участка оболочки. Матрицы B_1, B_2, B_3, B_4 , как следует из (8), характеризуют жесткость j -го участка оболочки. Индекс j у них опущен, так как при решении задач с целью сокращения затрат машинного времени участки следует выбирать одинаковой длины, которые для оболочек постоянной толщины имеют одинаковую жесткость.

Используя геометрические $p_{n1}=p_0, \dots, p_{kj}=p_{nj+1}=p_j, \dots, p_{ks}=p_s$ и силовые $q_{n1}=-R_0, \dots, q_{kj}-q_{nj+1}=R_j, \dots, q_{ks}=R_s$ условия сопряжения участков оболочки, получаем систему алгебраических уравнений

$$\begin{aligned} -B_1 p_0 - B_2 p_1 &= R_0, \\ B_3 p_{j-1} + (B_4 - B_1) p_j - B_2 p_{j+1} &= R_j, \end{aligned} \quad (9)$$

$$B_3 p_{s-1} + B_4 p_s = R_s,$$

где S - число сопрягаемых участков,

$$B_1 = -K_{12}^{-1} K_{11}, B_2 = -K_{12}^{-1}, B_3 = K_{21} - K_{22} K_{12}^{-1} K_{11}, B_4 = K_{22} K_{12}^{-1}.$$

Решая систему уравнений (9), определяют для n -го члена разложений элементы геометрических векторов p_j . Соответствующие им элементы силовых векторов q_j находят с помощью соотношений (8). Если необходимо определить значения p и q в пределах какого-либо участка j оболочки, следует воспользоваться соотношениями (7). Предложенный алгоритм особенно эффективен при исследовании влияния краевых условий нагружения оболочек системой сосредоточенных сил и моментов, так как и то и другое учитываются в конце вычислительного алгоритма при решении системы алгебраических уравнений [3].

Предложенный алгоритм решения прикладных задач легко распространяется и на случаи произвольного нагружения оболочки по линиям и площадкам ее поверхности, очерченным линиями главных кри -

визн. При этом частные решения для дифференциальных уравнений с правыми частями, если они аналитически не получены, вычисляются на основе формулы

$$K^* = \int_{t_0}^t K(\xi, \tau) f(\tau) d\tau,$$

где $f(\tau)$ — правые части, а $K(\xi, \tau) = K_{\xi_0}^{\xi} (K_{t_0}^{\tau})^{-1}$ — так называемая матрица Коши [4], и учитываются при записи системы (9).

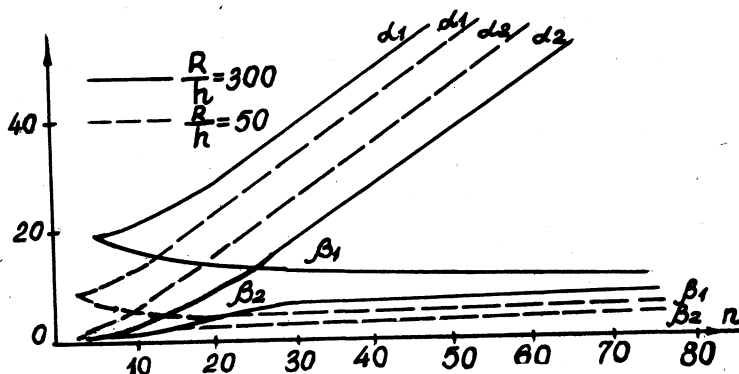


Рис. I

Анализ комплексных корней (рис. I) характеристического уравнения (3) показывает, что для больших действительных частей их график можно аппроксимировать прямой $\alpha_1 = a + b n$, где $a = \sqrt[4]{3(1-\sqrt{2})} \sqrt{\frac{R}{h}}$, $b \approx 1$, хотя он носит дискретный характер. Такая аппроксимация вполне пригодна для оценки длины участка оболочки, при которой не происходит потери точности вычислений на ЭВМ. Численным экспериментом установлено, что комплекс $\alpha_1 \xi$, который является показателем убывающих и возрастающих экспоненциальных функций, входящих в решения (4), не должен превышать $5 + 8$ и зависит от величины номера n разложений и относительной толщины R/h оболочки. Для осесимметричных задач $\alpha_1 \xi \leq 3 + 5$.

Для защемленной по краям оболочки, подкрепленной по середине ее длины шпангоутом и нагруженной двумя уравновешенными радиальными силами, приложенными к шпангоуту, с параметрами конструкции

$$\frac{(E J_x)_{\text{ш}}}{(E k)_{\text{об}} R^3} = 0,833 \cdot 10^2, \frac{(E J_x)_{\text{ш}}}{(E F)_{\text{ш}} R^2} = 0,833 \cdot 10^{-3}, \frac{R}{h} = 100, \frac{l}{R} = 1,$$

некоторые из полученных результатов представлены на рис. 2 и рис. 3.

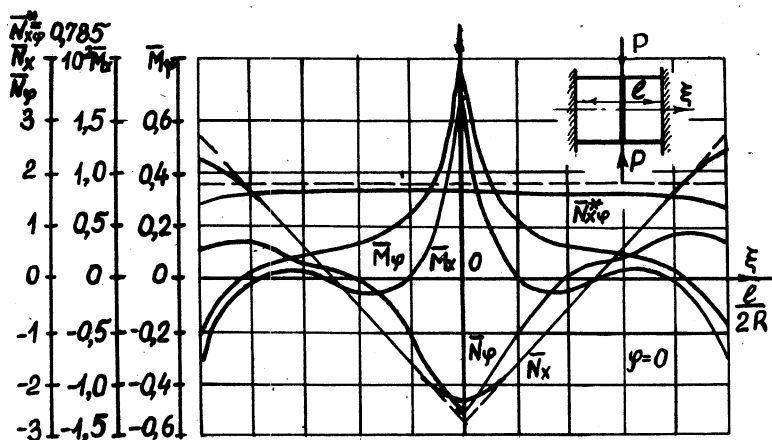


Рис. 2

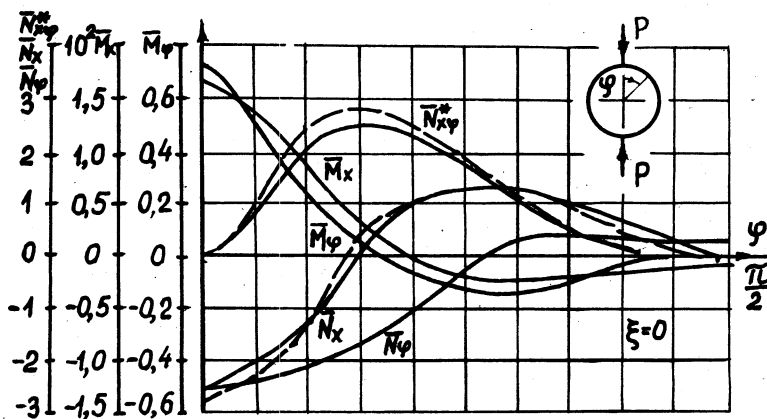


Рис. 3

Большая жесткость шпангоута выбрана лишь с той целью, чтобы сравнить полученные результаты с теми, что следуют при решении этой же задачи по безмоментной теории. Они представлены на рисунках пунктирными линиями.

Алгоритм решения задач механики деформирования других форм оболочек ничем не отличается от изложенного.

Л и т е р а т у р а

1. Ф л ю г г е В. Статика и динамика оболочек. - М.: Изд-во литературы по строительству, архитектуре и строительным материалам, 1961. - 307 с.
2. К р ы л о в А.Н. О расчете балок, лежащих на упругом основании. - Л.: АН СССР, 1931. - 154 с.
3. В ц н о г р а д о в Ю.И. Методы вычислений и построение алгоритмов решения краевых задач строительной механики // Докл. АН СССР. - 1988. - Т.298. - № 2. - С.308 - 313.
4. Г а н т м а х е р Ф.Р. Теория матриц. - М.: Наука, 1988. - 548 с.

Г.М.Кадисов

РАСЧЕТ РЕГУЛЯРНЫХ ЦИЛИНДРИЧЕСКИХ СКЛАДЧАТЫХ СИСТЕМ НА СТАТИЧЕСКИЕ НАГРУЗКИ И КОЛЕБАНИЯ

Рассмотрим тонкостенные цилиндрические системы, состоящие из жестко сочлененных между собой по продольным кромкам узких прямоугольных пластинок, и опирающиеся по торцам на абсолютно жесткие в своей плоскости и абсолютно гибкие из нее сплошные диафрагмы. Для расчета таких систем А.В.Александровым предложен метод перемещений [1, 2]. За основные неизвестные метода принимаются амплитуды гармоник при разложении функций смещений узловых линий, являющихся линиями пересечения срединных поверхностей пластинок, в одинарные тригонометрические ряды. Функции, определяющие напряженно-деформированное состояние (НДС) каждой пластинки, также представляются тригонометрическим рядом по продольной координате, а амплитуды гармоник зависят от поперечной координаты. Как правило, расчет проводится с учетом ограниченного числа гармоник.

Для оценки погрешности, возникающей при усечении рядов, выполнен анализ [3] зависимости амплитуд нормальных напряжений в поперечном сечении складки, подкрепленной ребрами, от волнового числа $\alpha = \pi \sqrt{v_n / (2l)}$, где v_n - ширина пластинки, l - пролет складки, n - номер гармоники, при загрузке одной узловой линии сосредоточенной силой. Малым волновым числам ($\alpha < 0,8$) соответ-